

Two-real-scalar Produktion

Vergleich von Wirkungsquerschnittsgrenzen
der Higgspaarproduktion im $b\bar{b}WW^*$ - Zerfallskanal mit Vorhersagen der
Two-real-scalar-singlet Erweiterung des SM

Amélie C. G. Henke

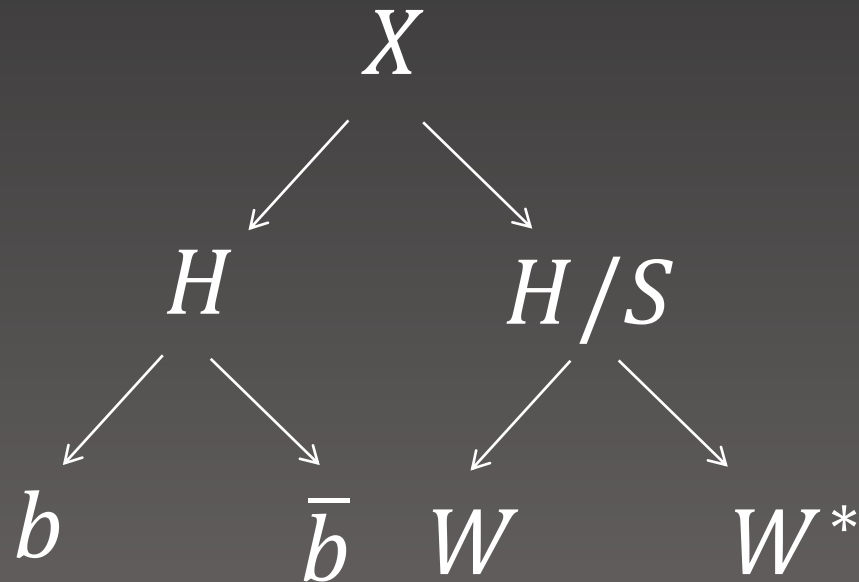
04.11.2022

Inhalt

- TRSM im $b\bar{b}WW^*$ - Kanal
- Freie Parameter
- Benchmark Szenarios
- Branching Ratio
- Wirkungsquerschnittsgrenzen

TRSM im $b\bar{b}W W^*$ -Kanal

- Suche nach Physik über SM hinaus
- Two-real-scalar Singlet Erweiterung des SM
- Singlet Felder X und S
- $m_x > m_s > m_H$
- W nicht mehr virtuell



Freie Parameter

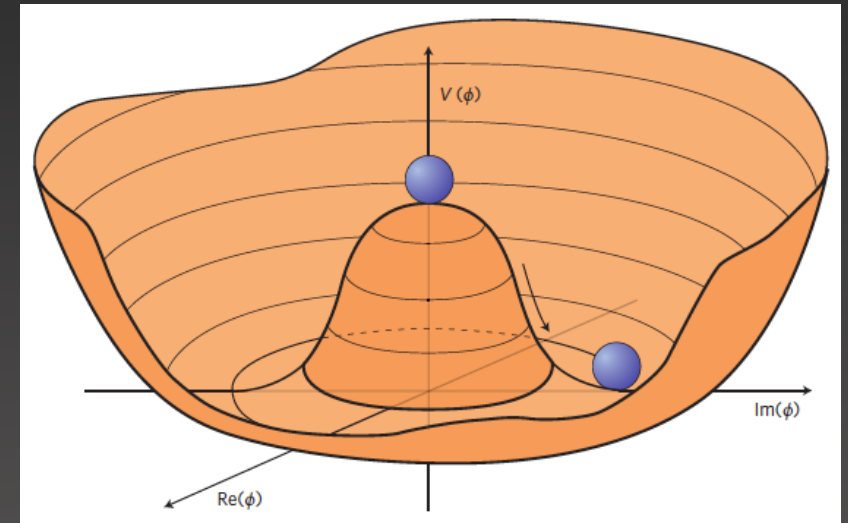
$$V(\Phi) = \mu_{\Phi}^2 \Phi \Phi^{\dagger} + \lambda_{\Phi} (\Phi \Phi^{\dagger})^2$$

$$\partial_{\phi} V(\Phi) = 0 \rightarrow \frac{-\mu_{\Phi}^2}{2\lambda_{\Phi}} = v^2$$

Elektroschwache Symmetriebrechung

$$V(\phi_i, \Phi) = V_{\text{Singlets}}(\phi_i, \Phi) + V_{\text{SM}}(\Phi)$$

$$\Phi = \begin{pmatrix} 0 \\ \frac{\phi_h + v_h}{\sqrt{2}} \end{pmatrix}, \quad S = \frac{\phi_S + v_S}{\sqrt{2}}, \quad X = \frac{\phi_X + v_X}{\sqrt{2}}$$



$$\mu_{\Phi}^2 < 0$$

Freie Parameter

Higgs: $v_h = 246 \text{ GeV}$, $m_h = 125.09 \text{ GeV}$

- Mixing Matrix R durch θ_{hS} , θ_{hX} , θ_{SX} parametrisiert

$$\begin{pmatrix} h_1 \\ h_2 \\ h_3 \end{pmatrix} = R \begin{pmatrix} \phi_h \\ \phi_S \\ \phi_X \end{pmatrix}$$

→ Freie Input Parameter: $M_S, M_X, \theta_{hS}, \theta_{hX}, \theta_{SX}, v_S, v_X$

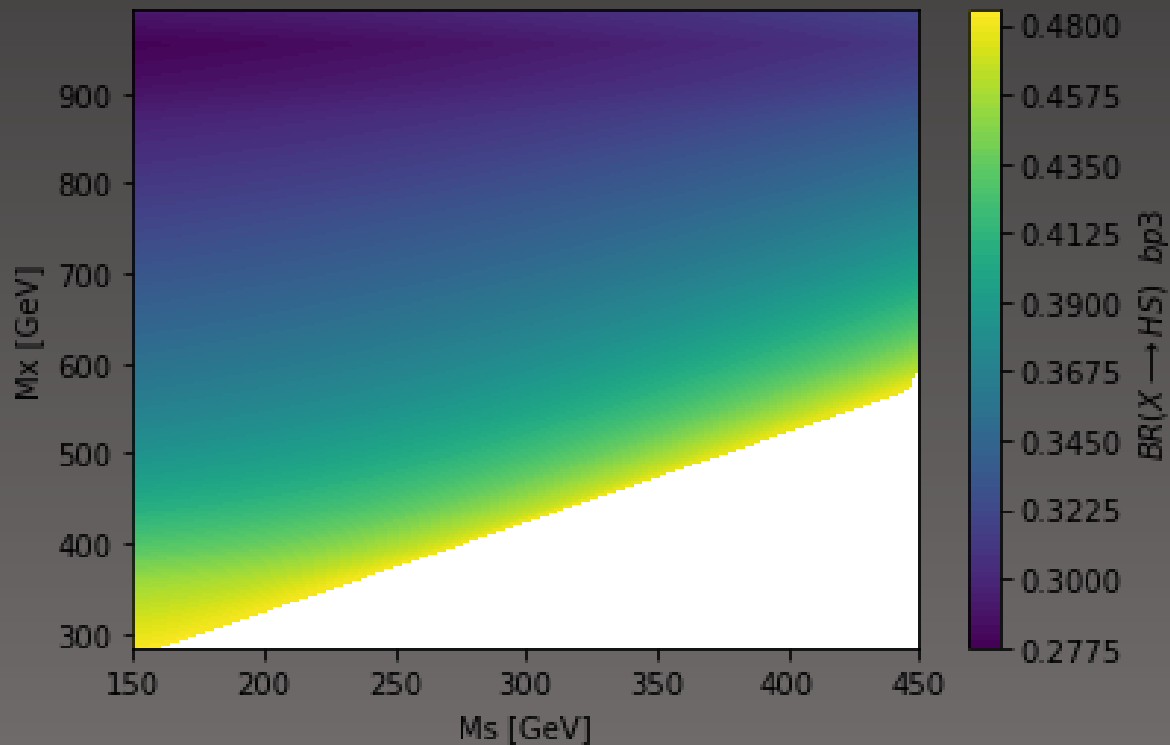
Benchmark Szenarios

- Benchmark 3 und 6: $m_x > m_S > m_H$
- BP3: $X \rightarrow HS$
- BP6: $X \rightarrow HH$

| Parameter | Benchmark scenario | | | | | |
|---------------|--------------------|------------|------------|----------|------------|-------------|
| | BP1 | BP2 | BP3 | BP4 | BP5 | BP6 |
| M_1 [GeV] | [1, 62] | [1, 124] | 125.09 | [1, 62] | [1, 124] | 125.09 |
| M_2 [GeV] | [1, 124] | 125.09 | [126, 500] | [1, 124] | 125.09 | [126, 500] |
| M_3 [GeV] | 125.09 | [126, 500] | [255, 650] | 125.09 | [126, 500] | [255, 1000] |
| θ_{hs} | 1.435 | 1.352 | -0.129 | -1.284 | -1.498 | 0.207 |
| θ_{hx} | -0.908 | 1.175 | 0.226 | 1.309 | 0.251 | 0.146 |
| θ_{sx} | -1.456 | -0.407 | -0.899 | -1.519 | 0.271 | 0.782 |
| v_s [GeV] | 630 | 120 | 140 | 990 | 50 | 220 |
| v_x [GeV] | 700 | 890 | 100 | 310 | 720 | 150 |
| κ_1 | 0.083 | 0.084 | 0.966 | 0.073 | 0.070 | 0.968 |
| κ_2 | 0.007 | 0.976 | 0.094 | 0.223 | -0.966 | 0.045 |
| κ_3 | -0.997 | -0.203 | 0.239 | 0.972 | -0.250 | 0.246 |

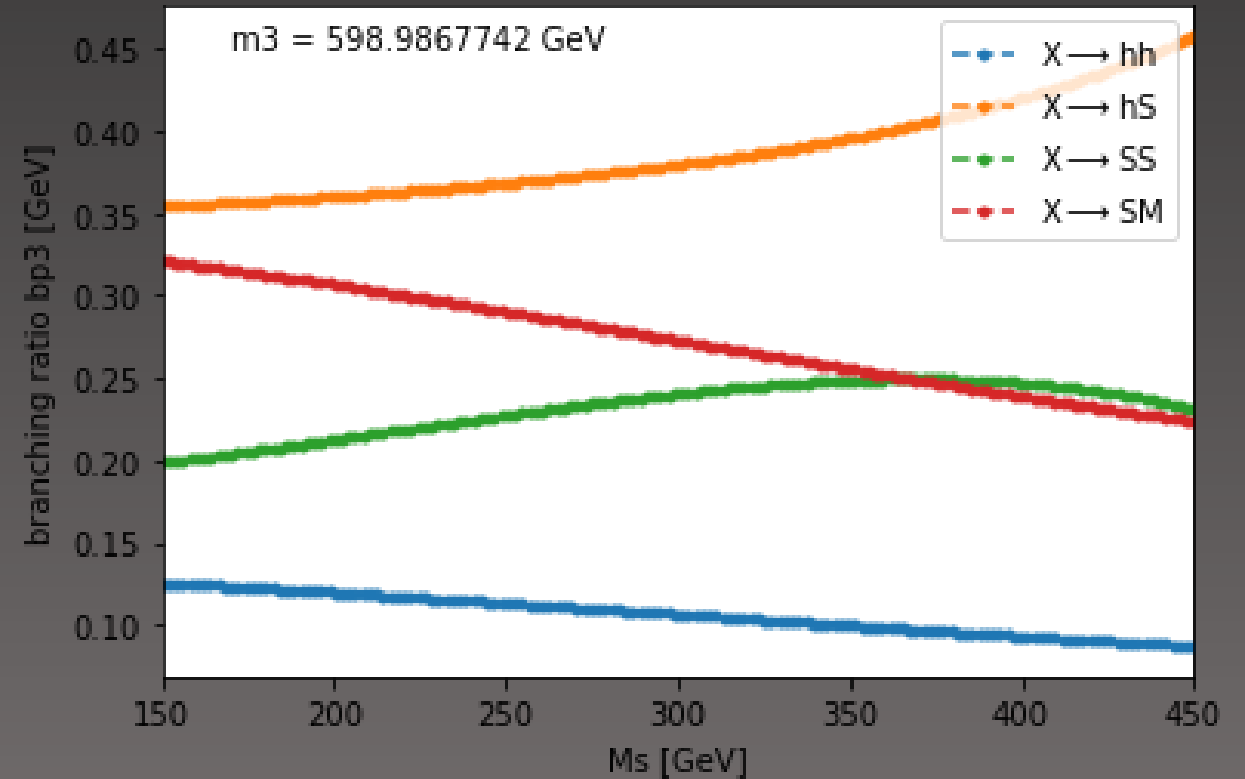
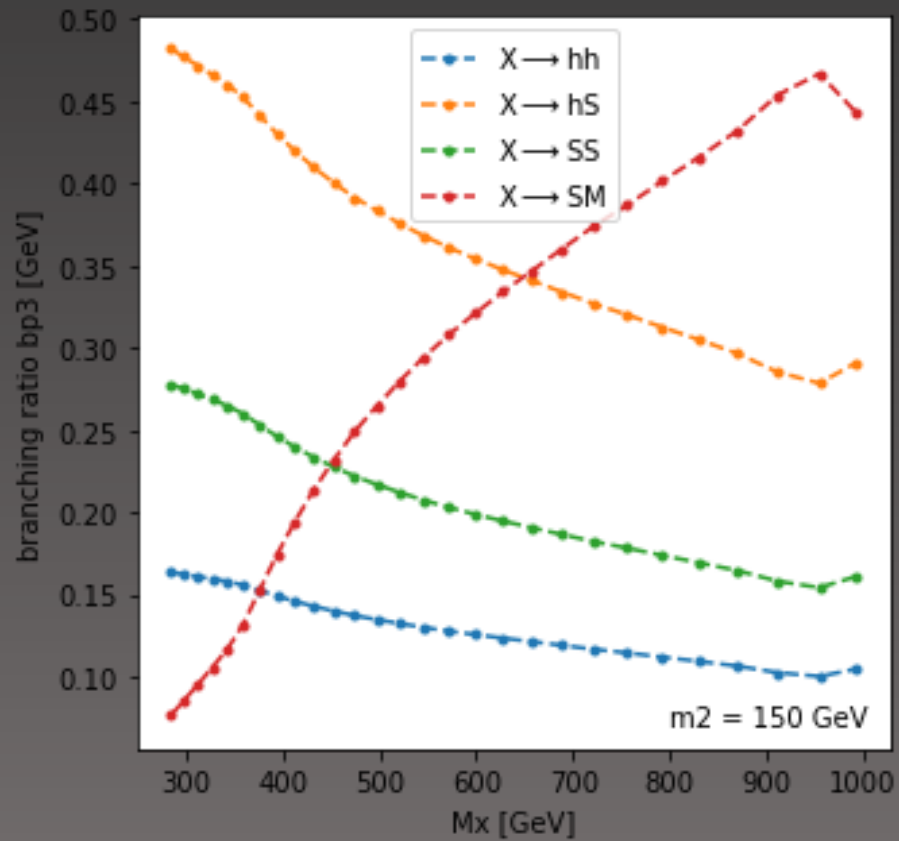
Branching Ratio

$$BR(h_a \rightarrow h_b h_c) = \frac{\Gamma_{a \rightarrow bc}}{\kappa_a^2 \Gamma_{tot}(h_{SM}; M_a) + \sum_{xy} \Gamma_{a \rightarrow xy}}$$



$$\kappa_a = R_{a1}$$

Branching Ratio



Wirkungsquerschnittsgrenzen

$$\sigma(pp \rightarrow h_a \rightarrow h_b h_c) = \kappa_a^2 \sigma(gg \rightarrow h_{SM})|_{M_a} BR(h_a \rightarrow h_b h_c)$$

